

# Слияние фотонов в поле многоэлектронного атома: высшие порядки теории возмущений

А. Н. Хоперский<sup>1)</sup>, А. М. Надолинский, В. А. Явна

Ростовский государственный университет путей сообщения, 344038 Ростов-на-Дону, Россия

Поступила в редакцию 27 мая 2017 г.

После переработки 8 июня 2017 г.

В приближении Тамма–Данкова исследован вклад высших порядков нерелятивистской квантовой теории возмущений в дифференциальное сечение процесса слияния трех рентгеновских фотонов в один фотон в поле многоэлектронного атома. Высшие порядки практически не изменяют физических результатов лидирующего (второго) порядка теории возмущений.

DOI: 10.7868/S0370274X17140090

**1. Введение.** В работах [1, 2] в лидирующем (втором) порядке нерелятивистской квантовой теории возмущений впервые исследован фундаментальный нелинейный процесс слияния трех рентгеновских фотонов в один фотон в поле атома и атомного иона. Этот порядок определен оператором контактного (нелинейного по электромагнитному полю) взаимодействия. В отличие, например, от квантовой электродинамики [3], в математическом формализме работ [1, 2] все порядки теории возмущений пропорциональны  $\alpha^4$ , где  $\alpha$  – постоянная тонкой структуры. Однако, эти порядки отличаются числом энергетических знаменателей и, соответственно, матричных элементов операторов взаимодействия электромагнитного поля с атомом. В таком представлении теории возмущений игнорирование высших порядков (с участием линейного по электромагнитному полю оператора радиационного перехода) оставляет открытым вопрос о значениях соответствующих поправок к абсолютным значениям и форме сечения процесса. Без решения данного вопроса физические результаты работ [1, 2] остаются существенно не полными. В данном Письме в рамках возникшего в релятивистской квантовой теории поля приближения Тамма–Данкова [4, 5] мы снимаем этот вопрос. Здесь необходимо отметить (см., например, работу [6]), что приближение Тамма–Данкова до сих пор не получило своего аналитического обоснования. В частности, остается открытым вопрос о калибровочной инвариантности этого приближения и, как результат, развиваемой в [1, 2] и данном Письме теории. Таким образом, мы дополняем результаты работ [1, 2] в предположении справедливости при-

ближения Тамма–Данкова. В качестве объекта исследования взят атом неона (Ne; заряд ядра атома  $Z = 10$ ; конфигурация и терм основного состояния  $[0] = 1s^2 2s^2 2p^6 [^1S_0]$ ). Выбор обусловлен сферической симметрией основного состояния Ne и его доступностью в газовой фазе для проведения высокоточных экспериментов с рентгеновским лазером на свободных электронах (XFEL; [7, 8]).

**2. Теория.** Рассмотрим процесс слияния трех  $\omega$ -XFEL-фотонов в один  $\omega_R$ -фотон ( $\omega_R = 3\omega$ ) в поле атома:

$$\omega + \omega + \omega + [0] \rightarrow X \rightarrow [0] + \omega_R. \quad (1)$$

В (1) и далее принята атомная система единиц:  $\hbar = e = m_e = 1$ ,  $\hbar$  – постоянная Планка,  $e$  – заряд и  $m_e$  – масса электрона. Амплитуда вероятности процесса (1) равна сумме большого набора амплитуд второго, третьего и четвертого порядков теории возмущений. Определим эту сумму в приближении Тамма–Данкова [4, 5], учитывая в каждом порядке лишь лидирующие амплитуды с минимальным числом фотонов, электронов и вакансий в виртуальных (промежуточных)  $X$  – состояниях системы “атом  $\oplus$  фотоны” (рис. 1):

$$M = M_2 + M_3 + M_4. \quad (2)$$

Выражение для  $M_2$  (см. рис. 1a) дано в работе [1]. Вычисление  $M_3$  (см. рис. 1b) и  $M_4$  (см. рис. 1c) требует решения сложной задачи (см. Appendix B в работе [1]) точного учета полноты набора одноэлектронных  $xl$ -состояний:

$$\sum_{x \leq F, > F} \mathbf{S} |xl(r)\rangle \langle xl(r')| = \delta_l(r - r'), \quad (3)$$

где  $F$  – уровень Ферми (совокупность квантовых чисел валентной оболочки атома), символ  $\mathbf{S}$  означает

<sup>1)</sup>e-mail: hopersky\_vm\_1@rgups.ru

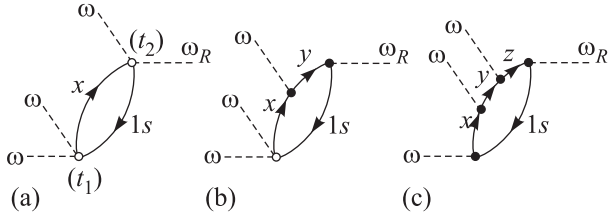


Рис. 1. Лидирующие амплитуды вероятности слияния второго (а), третьего (б) и четвертого (с) порядков теории возмущений в представлении диаграмм Фейнмана нерелятивистской квантовой теории многих тел. Стрелка вправо – электрон ( $x \equiv xl, l \in [0; \infty)$ ), стрелка влево – вакансия ( $1s$ ). Открытый кружок – вершина взаимодействия по  $j_l$ -оператору контактного перехода. Черный кружок – вершина взаимодействия по оператору радиационного перехода.  $\omega$  ( $\omega_R$ ) – падающий (рассеянный) фотон. Направление времени – слева направо ( $t_1 < t_2$ )

суммирование (интегрирование) по состояниям дискретного (сплошного) спектра и  $\delta$  – дельта-функция Дирака. Для учета (3) примем приближение факторизации  $M_3$  и  $M_4$  на энергетическую часть и часть, содержащую лишь матричные элементы операторов контактного и (или) радиационного переходов. Тогда в области энергий  $2\omega \cong I_{1s}$  ( $I_{1s}$  – энергия порога ионизации  $1s$ -оболочки атома), используя методы теории неприводимых тензорных операторов (см. Appendix A в работе [1]), имеем:

$$M_3 \rightarrow AB, \quad (4)$$

$$A = \rho a_s a_p, \quad (5)$$

$$B = \sum_{x,y>F} \langle 1s|j_0|xs\rangle \langle xs|r|yp\rangle \langle yp|r|1s\rangle, \quad (6)$$

$$M_4 \rightarrow \sum_{l=s,d} C_l D_l, \quad (7)$$

$$C_l = \rho^2 \Delta_p a_p a_l, \quad (8)$$

$$D_l = \sum_{x,y,z>F} \beta_{xz} \langle xp|r|yl\rangle \langle yl|r|zp\rangle. \quad (9)$$

В (6) и (9) для оператора радиационного перехода принято дипольное приближение (в форме длины). Учет недипольных эффектов [9, 10] и корреляций приближения случайных фаз с обменом [11, 12] является предметом будущих исследований. В (5), (6), (8) и (9) обозначено:  $\rho = I_p(I_s - I_p)$ ,  $I_l$  – Хартри-Фоковская энергия  $1s \rightarrow 3l$  перехода,

$$\Delta_p = (\omega - I_p) + i\gamma_{1s})^{-1},$$

$$a_{s,d} = (2\omega - I_{s,d} + i\gamma_{1s})^{-1},$$

$$a_p = (3\omega - I_p + i\gamma_{1s})^{-1}, \quad \gamma_{1s} = \Gamma_{1s}/2,$$

$\Gamma_{1s}$  – естественная ширина распада  $1s$ -вакансии,  $j_0(qr)$  – сферическая функция Бесселя,  $q = 2\omega/c$ ,  $\beta_{xz} = \langle 1s|r|xp\rangle \langle zp|r|1s\rangle$  и  $c$  – скорость света в вакууме. В (6) вклад  $j_2$ -функции Бесселя отброшен в силу неравенства  $|\langle 1s|j_2|xd\rangle| \ll |\langle 1s|j_0|xs\rangle|$ .

Учитывая (3) в (6) и (9), для атома Ne получаем:

$$M_3 = -\mu a_s a_p, \quad (10)$$

$$M_4 = -\frac{1}{\omega^2} (\alpha_s a_s + \alpha_d a_d), \quad (11)$$

где  $\mu = 3.63 \cdot 10^{-4}$  эВ,  $\alpha_s (\alpha_d) = 0.061$  (0.163) эВ<sup>2</sup>.

Заметим, что расчет  $M_3$  и  $M_4$  с учетом лишь основных возбужденных  $3(s, p, d)$  состояний дискретного спектра и состояний сплошного спектра по порядку величин воспроизводит результаты приближения факторизации. Такой расчет, в свою очередь, сталкивается с необходимостью аналитического вычисления сингулярных матричных элементов оператора радиационного перехода по состояниям сплошного спектра. Мы использовали приближение плоских волн

$$|x(r)\rangle = (2/\pi k_x)^{1/2} \sin(k_x r), \quad (12)$$

$$k_x = \sqrt{2x}, \quad \langle x|x'\rangle = \delta(x - x') \quad (13)$$

для волновых функций сплошного спектра и получили (форма скорости)

$$(x - y)\langle x|r|y\rangle = P \left( \frac{f_{xy}}{x - y} \right) + i\sqrt{2x}\delta(x - y), \quad (14)$$

где  $f_{xy} = (-\sqrt{23}/\pi)(xy)^{1/4}$  и  $P$  – символ главного значения интеграла в смысле Коши. С точностью до фазового множителя (отсутствует в приближении плоских волн) сингулярная часть (14) воспроизводит такую же, полученную в приближении кулоновских волновых функций [13, 14]. Аналитическая структура (14) для хартри-фоковских волновых функций сплошного спектра многоэлектронного атома установлена в работе [15]. Учет этой структуры, в частности, при расчете  $M_3$  и  $M_4$  вне приближения факторизации, является предметом будущих исследований.

Дифференциальное сечение процесса (1) с учетом (2) принимает вид [1]:

$$\frac{d\sigma_{\perp}}{d\Omega_R} = |\eta M|^2 \equiv \sigma_{\perp}^{(1)}, \quad (15)$$

где  $\Omega_R$  – пространственный угол вылета  $\omega_R$ -фотона,  $\eta = 2\pi cr_0^2/\omega$ ,  $r_0$  – классический радиус электрона. Падающие (параллельно друг другу) и рассеянный фотоны линейно поляризованы перпендикулярно ( $\perp$ ) плоскости рассеяния. Плоскость рассеяния проходит через волновые векторы падающих и рассеянного фотонов.

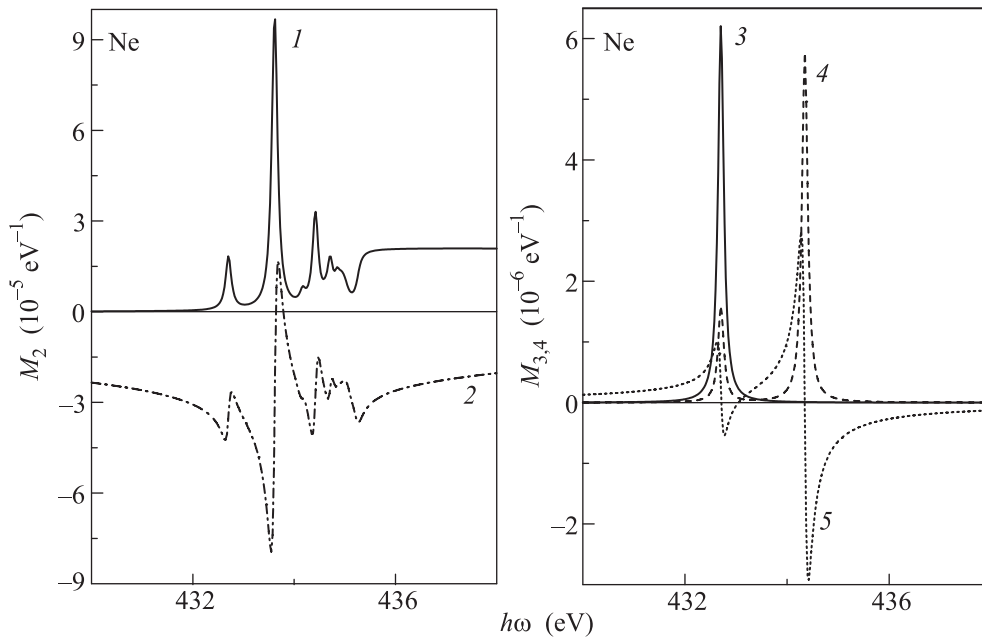


Рис. 2. Реальные и мнимые части амплитуд вероятности слияния в (2): 1 –  $\text{Im } M_2$ , 2 –  $\text{Re } M_2$ , 3 –  $\text{Im } M_3$ , 4 –  $\text{Im } M_4$ , 5 –  $\text{Re } M_4$ .  $I_{1s}(\Gamma_{1s}) = 870.17(0.27)$  эВ, угол рассеяния  $\theta = 150^\circ$ ,  $\hbar\omega$  – энергия XFEL-фотона

**3. Результаты и обсуждение.** Физические результаты второго порядка теории возмущений для атома Ne приведены в работе [2]. В данном Письме рассмотрим лишь результаты учета высших порядков.

Согласно рис. 2, на котором представлены реальные и мнимые части амплитуд вероятности слияния в (2),  $\sqrt{|M_{3,4}|^2}$  практически на порядок величины меньше  $\sqrt{|M_2|^2}$ . При этом, в области  $1s \rightarrow 3s$  резонанса спектра слияния  $|\text{Re } M_3/\text{Im } M_3| \cong 10^{-4}$  и вклад  $\text{Re } M_3$  на рис. 2 не представлен. Учет  $M_3$  приводит к изменению значения максимума и формы длинноволнового монополюсного  $1s \rightarrow 3s$  ( $I_s = 865.41$  эВ) сателлита лидирующего дипольного  $1s \rightarrow 3p$  ( $I_p = 867.23$  эВ) резонанса спектра слияния. Учет  $M_4$  приводит к изменению максимумов и форм как  $1s \rightarrow 3s$ , так и коротковолнового квадрупольного  $1s \rightarrow 3d$  ( $I_d = 868.70$  эВ) сателлитов. В целом, согласно изображенному на рис. 3 дифференциальному сечению процесса (1), учет высших порядков теории возмущений приводит к перераспределению в коротковолновую область энергий XFEL-фотона вероятности процесса (1), рассчитанной во втором порядке.

**4. Заключение.** В рамках принятых приближений учет высших порядков нерелятивистской квантовой теории возмущений практически не изменяет абсолютных значений и формы дифференциального сечения процесса (1), полученных в лидирующем (втором) порядке. Таким образом, в данном Пись-

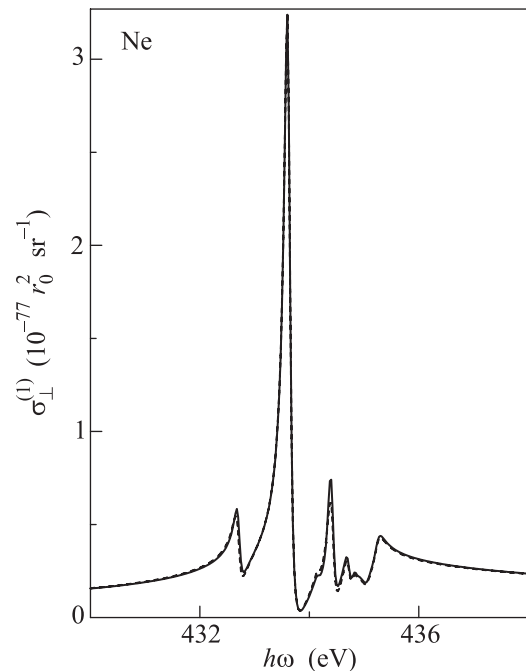


Рис. 3. Дифференциальное сечение процесса (1): пунктирная кривая – второй порядок [2], сплошная кривая – второй, третий и четвертый порядки.  $I_{1s}(\Gamma_{1s} = 870.17(0.27)$  эВ, угол рассеяния  $\theta = 150^\circ$ ,  $\hbar\omega$  – энергия XFEL-фотона

ме на примере атома Ne предсказан окончательный результат для сечения процесса слияния трех рент-

геновских фотонов в один в поле многоэлектронного атома. Можно предположить, что исследование таких процессов на XFEL's следующих поколений станет одним из приоритетных направлений физики многофотонных процессов.

1. A. N. Hopersky, A. M. Nadolinsky, and S. A. Novikov, *J. Phys. B* **50**, 065601 (2017).
2. А. Н. Хоперский, А. М. Надолинский, Р. В. Конеев, *Письма в ЖЭТФ* **105**, 535 (2017).
3. V. B. Berestetskii, E. M. Lifshitz, and L. P. Pitaevskii, *Quantum Electrodynamics*, Pergamon Press, Oxford (1982).
4. I. G. Tamm, *J. Phys. (USSR)* **9**, 449 (1945).
5. S. M. Dancoff, *Phys. Rev.* **78**, 382 (1950).
6. В. П. Силин, И. Е. Тамм, В. Я. Файнберг, *ЖЭТФ* **29**, 6 (1955).
7. L. Young, E. P. Kanter, B. Krässig et al. (Collaboration), *Nature (London)* **466**, 56 (2010).
8. M. Yabashi and H. Tanaka, *Nat. Photon.* **11**, 12 (2017).
9. D. W. Lindle and O. Hemmers, *J. Electr. Spectr. Rel. Phenom.* **100**, 297 (1999).
10. M. Ya. Amusia, A. S. Baltenkov, Z. Felfli, and A. Z. Msezane, *Phys. Rev. A* **59**, R2544 (1999).
11. M. Ya. Amusia, *Atomic Photoeffect*, Plenum Press, N.Y. (1990).
12. W. R. Johnson, A. Derevianko, K. T. Cheng, V. K. Dolmatov, and S. T. Manson, *Phys. Rev. A* **59**, 3609 (1999).
13. A. V. Korol, *J. Phys. B* **26**, 4769 (1993).
14. C. Marante, L. Argenti, and F. Martin, *Phys. Rev. A* **90**, 012506 (2014).
15. S. A. Novikov and A. N. Hopersky, *J. Phys. B* **44**, 235001 (2011).